

■ Introducción

- ▶▶ **Filtro.** Proceso o algoritmo computacional que convierte una secuencia de números (señal de entrada) en otra secuencia de números (señal de salida), y en el cual la conversión cambia el carácter de la señal en una forma predeterminada.
- ▶▶ **Diseño.** Determina los coeficientes del algoritmo de entrada/salida por algún proceso de aproximación. O de otra forma, se determina la función de transferencia, la respuesta al impulso o la ecuación de diferencia que pueda cumplir los requerimientos para el filtrado de señal.

▶▶ Clasificación

- ▶ De acuerdo con las *características de su respuesta en frecuencia*
 - » Filtros Paso-Bajo
 - » Filtros Banda de Paso
 - » Filtros Paso-Alto
 - » Filtros Banda de Rechazo
- ▶ Dependiendo de la *duración de la respuesta al impulso*
 - » Filtros de Respuesta Impulsional Infinita (IIR)
 - » Filtros de Respuesta Impulsional Finita (FIR)

▶▶ Realizaciones

- ▶ Dominio del Tiempo
 - » Realización Recursiva (preferido para Filtros IIR)
 - » Realización No-Recursiva (preferido para Filtros FIR)
- ▶ Dominio Frecuencial: Realización vía Transformada de Fourier

■ Consideraciones de Causalidad en los Filtros Digitales

- ▶▶ El teorema de Paley-Wiener permite establecer las condiciones suficientes y necesarias que debe satisfacer una característica de respuesta en frecuencia $H(w)$ para que el filtro resultante sea causal.

- ▶▶ **Tma. de Paley-Wiener.** Si $h(n)$ tiene energía finita y $h(n)=0$ para $n<0$, entonces,

$$\int_{-\pi}^{\pi} |\ln|H(w)|| dw < \infty$$

Recíprocamente, si $|H(w)|$ es *cuadráticamente integrable* y si la integral de la ecuación anterior es finita, entonces se puede asociar a $|H(w)|$ una respuesta en fase $\Theta(w)$, de tal forma que el filtro resultante con respuesta en frecuencia,

$$H(w) = |H(w)| e^{j\Theta(w)} \quad \text{es causal}$$

- ▶▶ El teorema de Paley-Wiener implica que:
 - ▶ **$H(w)$ puede ser cero en algunas frecuencias, pero no puede ser cero sobre cualquier banda finita de frecuencias.** (la integral se hace infinita)
 - ▶ **$|H(w)|$ no puede ser constante sobre ningún rango finito de frecuencias y la transición de la banda de paso a la banda de rechazo no puede ser infinitamente abrupta.** (fenómeno de Gibbs)

\Rightarrow cualquier filtro ideal es no causal \Leftarrow

\Rightarrow los filtros ideales no son físicamente realizables \Leftarrow

►► **Dependencia entre $H_R(w)$ y $H_I(w)$.** Para ilustrar la relación se descompone $h(n)$ en una secuencia par y otra impar,

$$h(n) = h_e(n) + h_o(n) \quad h_e(n) = \frac{1}{2}[h(n) + h(-n)] \quad h_o(n) = \frac{1}{2}[h(n) - h(-n)]$$

►► Si $h(n)$ es causal, es posible recuperarla sólo a partir de su parte par o impar.

► **par:**
$$h(n) = 2h_e(n)u(n) - h_e(0)\delta(n) \quad n \geq 0$$

► **impar:**
$$h(n) = 2h_o(n)u(n) + h_o(0)\delta(n) \quad n \geq 1$$

►► De lo anterior se desprende que $h_o(n) = h_e(n)$ para $n \geq 1$, lo que implica una fuerte relación entre $h_o(n)$ y $h_e(n)$.

►► Si $h(n)$ es **absolutamente sumable** (estable BIBO), existe la respuesta $H(w)$ dada por,

$$H(w) = H_R(w) + j H_I(w)$$

►► Si $h(n)$ es **real y causal**, las propiedades de simetría de la transformada de Fourier implican que,

$$h_e(n) \xleftrightarrow{F} H_R(w) \quad h_o(n) \xleftrightarrow{F} H_I(w)$$

►► Si el sistema es causal $H_R(w)$ y $H_I(w)$ son interdependientes y no se pueden especificar independientemente. Equivalentemente, la respuesta en magnitud y fase están interrelacionadas.

Transformada de Hilbert Discreta.
$$H_I(w) = -\frac{1}{2\pi} \int_{-\pi}^{\pi} H_R(\lambda) \cot\left(\frac{w-\lambda}{2}\right) d\lambda$$

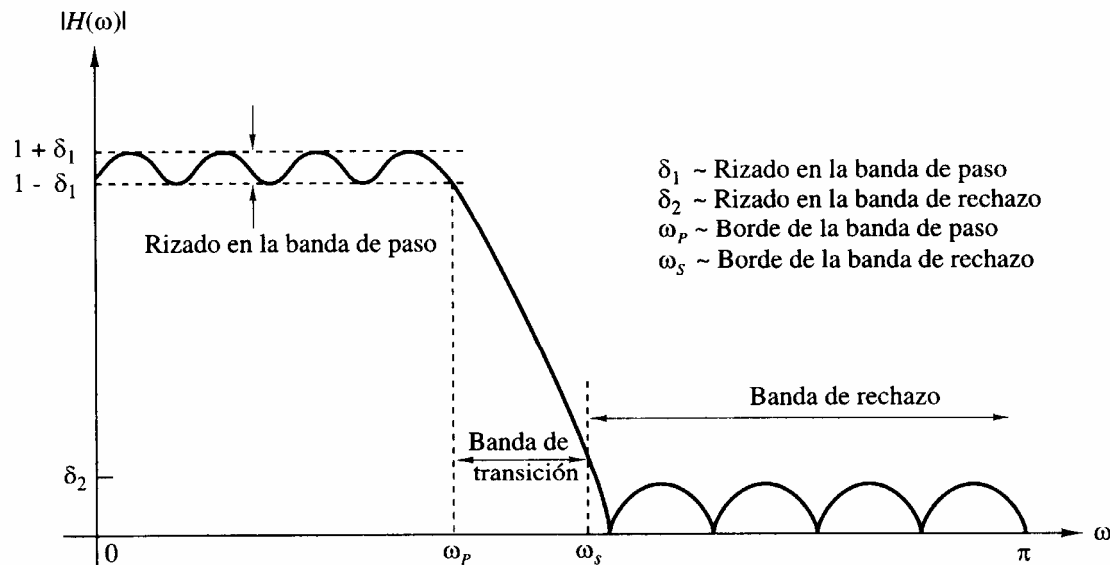
Características de Filtros Prácticos

■ Observaciones

- ▶ Los filtros ideales no son causales y por lo tanto físicamente irrealizables.
- ▶ $H(\omega)$ no puede ser cero excepto en un conjunto finito de puntos en el rango de frecuencias.
- ▶ $H(\omega)$ no puede tener una transición infinitamente abrupto entre las bandas de paso y de rechazo.
- ▶ $|H(\omega)|$ no puede ser constante en ningún rango finito de frecuencias.

■ Especificaciones de diseño

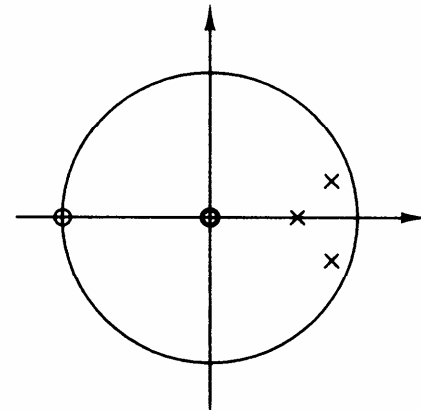
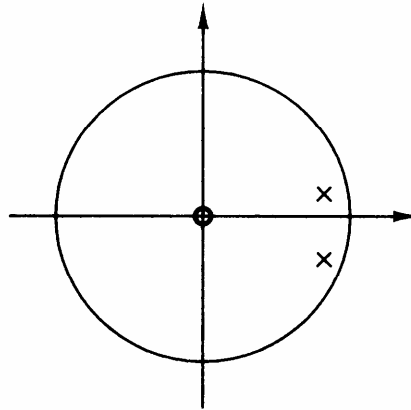
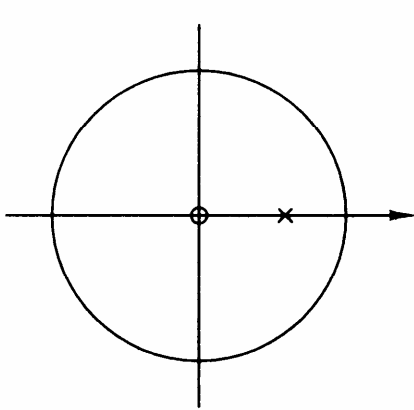
- ▶ Máximo rizado en la banda de paso $[\delta_1]$
- ▶ Máximo rizado en la banda de rechazo $[\delta_2]$
- ▶ Frecuencia de corte en la banda de paso $[\omega_p]$
- ▶ Frecuencia de corte en la banda de rechazo $[\omega_s]$



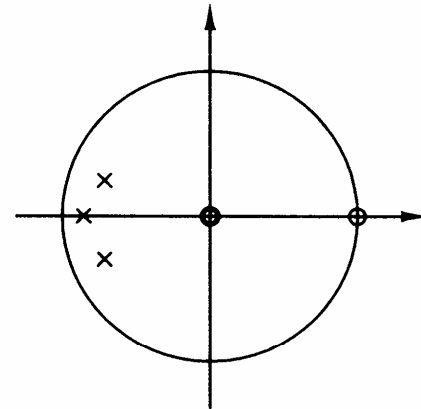
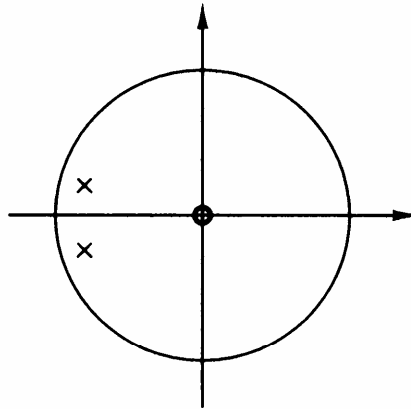
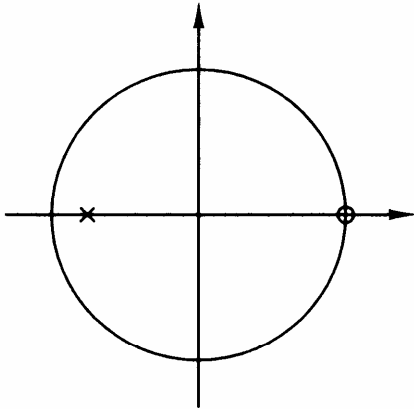
■ Exactitud

- ▶ Criterio utilizado para determinar los coeficientes del filtro.
- ▶ El orden del numerador y denominador de la función de transferencia.

Ubicación de polos y ceros para distintos filtros paso alto y paso bajo.



Paso bajo



Paso alto

Diseño de Filtros FIR

■ Introducción

- ▶▶ El problema de diseño de filtros FIR consiste en determinar los coeficientes de su función de transferencia, $H(z)$ o de su respuesta al impulso, $h(n)$.
- ▶▶ Al disponer de sólo un polinomio numerador en la función de transferencia del filtro FIR hace más restrictivo el problema de diseño.

■ Propiedades generales de los filtros FIR

- ▶▶ Implementación no-recursive o realización por medio de la convolución directa.
- ▶▶ Implementación por convolución de alta velocidad mediante la transformada rápida de Fourier o por técnicas recursivas.
- ▶▶ Errores producidos por cuantización, redondeo e imprecisiones en los coeficientes son menos críticos en realizaciones no-recursive de filtros FIR que en filtros IIR. → Filtros FIR no-recursive no tienen realimentaciones.
- ▶▶ La función de transferencia de un filtro FIR no-recursive tiene todos los polos en el origen y siempre es estable.

Diseño de Filtros FIR (suite)

■ Propiedades generales de los filtros FIR...

- ▶▶ Filtros FIR pueden diseñarse con características de fase lineal. (Poco posible para filtros IIR).
- ▶▶ El “orden” (longitud) de un filtro FIR es más alto que de uno IIR para obtener las mismas prestaciones.
- ▶▶ El retardo de tiempo incrementa con el número de términos y puede hacerse muy grande para filtros de ordenes relativamente altos.
- ▶▶ En general los métodos de diseño de filtros FIR son más tediosos que para filtros IIR

Filtros FIR Simétricos y Antisimétricos

- Un filtro FIR con longitud M , entrada $x(n)$ y salida $y(n)$ puede describirse por,

$$y(n) = b_0 x(n) + b_1 x(n-1) + \dots + b_{M-1} x(n-M+1) = \sum_{k=0}^{M-1} b_k x(n-k)$$

donde $\{b_k\}$ es el conjunto de coeficientes del filtro.

- De forma alternativa,

$$y(n) = \sum_{k=0}^{M-1} h(k) x(n-k)$$

donde $h(k)=b_k$, $k=0, 1, \dots, M-1$. \Rightarrow $h(k)$ es un filtro causal de duración finita.

- El filtro también puede caracterizarse por su función de transferencia,

$$H(z) = \sum_{k=0}^{M-1} h(k) z^{-k}$$

la cual se puede interpretar como un polinomio de grado $M-1$ en la variable z^{-1} .

- **Un filtro FIR tiene fase lineal si su respuesta impulsional satisface la condición de simetría (+) y antisimetría (-):**

$$h(n) = \pm h(M-1-n) \quad n = 0, 1, \dots, M-1$$

- Incorporando las condiciones de simetría y antisimetría en la función de transferencia, se tiene:

$$\begin{aligned}
 H(z) &= h(0) + h(1) z^{-1} + h(2) z^{-2} + \dots + h(M-2) z^{-(M-2)} + h(M-1) z^{-(M-1)} \\
 &= z^{-(M-1)/2} \left\{ h\left(\frac{M-1}{2}\right) + \sum_{n=0}^{(M-3)/2} h(n) \left[z^{(M-1-2k)/2} \pm z^{-(M-1-2k)/2} \right] \right\} \quad M \text{ impar} \\
 &= z^{-(M-1)/2} \sum_{n=0}^{(M/2)-1} h(n) \left[z^{(M-1-2k)/2} \pm z^{-(M-1-2k)/2} \right] \quad M \text{ par}
 \end{aligned}$$

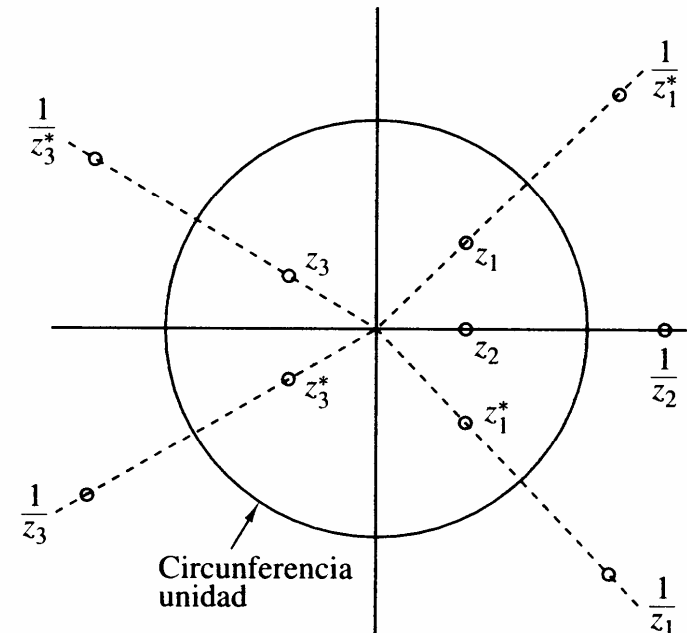
- Al evaluar esta expresión en la circunferencia unitaria, $z=e^{jw}$, se obtienen las características de respuesta en frecuencia, $H(w)$, de los filtros FIR de fase lineal.

► Simetría en la localización de las raíces de un filtro FIR de fase lineal

- Sustituyendo z^{-1} por z y multiplicando por $z^{-(M-1)}$ se obtiene,

$$z^{-(M-1)} H(z^{-1}) = \pm H(z)$$

- Esto implica que las raíces de $H(z)$ son idénticas a las raíces de $H(z^{-1})$
- Las raíces de $H(z)$ deben ocurrir en pares recíprocos \Rightarrow si z_1 es raíz, $1/z_1$ también es raíz.
- Si $h(n)$ es real y compleja, las raíces se presentan en pares conjugados \Rightarrow si z_1 es raíz compleja, z_1^* también es raíz.



■ Filtros Simétricos

►► Cuando $\mathbf{h(n) = h(M-1-n)}$, $H(w)$ puede expresarse como,

$$H(w) = H_r(w) e^{-jw(M-1)/2}$$

donde $H_r(w)$ es una función real de w y está dada por,

$$H_r(w) = h\left(\frac{M-1}{2}\right) + 2 \sum_{n=0}^{(M-3)/2} h(n) \cos w\left(\frac{M-1}{2} - n\right) \quad M \text{ impar}$$

$$H_r(w) = 2 \sum_{n=0}^{(M/2)-1} h(n) \cos w\left(\frac{M-1}{2} - n\right) \quad M \text{ par}$$

La característica de fase del filtro para M par e impar es,

$$\Theta(w) = \begin{cases} -w \left(\frac{M-1}{2} \right) & \text{si } H_r(w) > 0 \\ -w \left(\frac{M-1}{2} \right) + \pi & \text{si } H_r(w) < 0 \end{cases}$$

►► Número de coeficientes: M impar = $(M+1)/2$; M par = $M/2$

■ Filtros Antisimétricos

- ▶▶ Cuando $\mathbf{h(n) = - h(M-1-n)}$, $H(w)$ puede expresarse como, $H(w) = H_r(w) e^{j[-w(M-1)/2 + \pi/2]}$ donde $H_r(w)$ es una función real de w y está dada por,

$$H_r(w) = 2 \sum_{n=0}^{(M-3)/2} h(n) \sin w \left(\frac{M-1}{2} - n \right) \quad M \text{ impar}$$
$$H_r(w) = 2 \sum_{n=0}^{(M/2)-1} h(n) \sin w \left(\frac{M-1}{2} - n \right) \quad M \text{ par}$$

La característica de fase del filtro para M par e impar es,

$$\Theta(w) = \begin{cases} \frac{\pi}{2} - w \left(\frac{M-1}{2} \right) & \text{si } H_r(w) > 0 \\ \frac{3\pi}{2} - w \left(\frac{M-1}{2} \right) & \text{si } H_r(w) < 0 \end{cases}$$

- ▶▶ Punto central de la antisimetría de $h(n)$ es $n=(M-1)/2$, donde $h(n)=0$.
- ▶▶ Número de coeficientes: M impar $= (M-1)/2$; M par $= M/2$

■ Selección: Simétrico o Antisimétrico?

- ▶▶ Depende de la aplicación: cada función de transferencia, $H_r(w)$, simétrica o antisimétrica, tiene características particulares en el dominio frecuencia.
- ▶▶ **Ejemplo.** No puede emplearse un $h(n)$ antisimétrico para el diseño de un filtro FIR paso bajo de fase lineal $\rightarrow H_r(0) = 0$.

Diseño de Filtros FIR de Fase Lineal por Ventanas

■ Metodología

- ▶ Se especifica la respuesta en frecuencia deseada $\mathbf{H_d(w)}$ y posteriormente se determina la correspondiente respuesta impulsional $\mathbf{h_d(n)}$, mediante la transformada de Fourier.

$$H_d(w) = \sum_{n=0}^{\infty} h_d(n) e^{-jwn} \quad \text{donde} \quad h_d(n) = \int_{-\pi}^{\pi} H_d(w) e^{jwn} dw$$

- ▶ En general, la respuesta $\mathbf{h_d(n)}$ luego de evaluar la integral, es de ***duración infinita*** y debe ser ***truncada*** en algún punto, $\mathbf{n=M-1}$, para producir un filtro **FIR** de longitud **M**.
- ▶ El truncamiento de $\mathbf{h_d(n)}$ es equivalente a multiplicar $\mathbf{h_d(n)}$ por una ***ventana rectangular*** de longitud **M**, definida como,

$$w(n) = \begin{cases} 1, & n = 0, 1, \dots, M-1 \\ 0, & \text{en otro caso} \end{cases}$$

- ▶ Así, la respuesta impulsional del filtro FIR se convierte en,

$$h(n) = h_d(n) w(n) = \begin{cases} h_d(n), & n = 0, 1, \dots, M-1 \\ 0, & \text{en otro caso} \end{cases}$$

y por la convolución en el dominio frecuencial se llega a,

$$H(w) = H_d(w) * W(w) = \frac{1}{2\pi} \int_{-\pi}^{\pi} H_d(v) W(w-v) dv$$

►► La transformada de Fourier de la **ventana rectangular** es,

$$W(w) = \sum_{n=0}^{M-1} w(n) e^{-jwn} = \frac{1 - e^{-jwM}}{1 - e^{-jw}} = e^{-jw(M-1)/2} \frac{\text{sen}(wM/2)}{\text{sen}(w/2)}$$

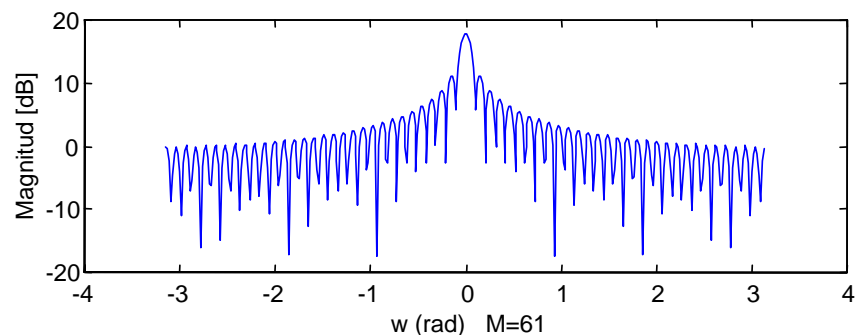
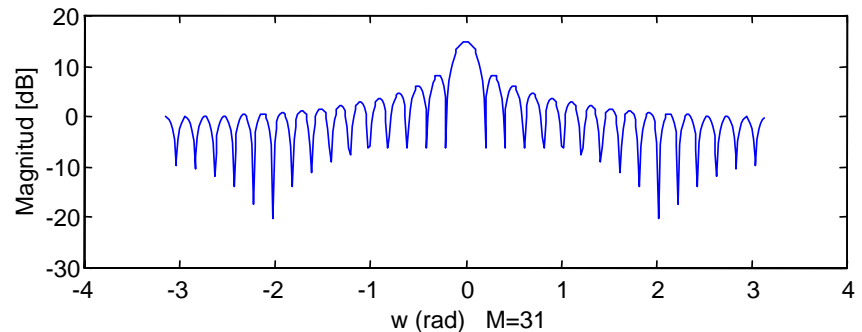
con respuesta en **magnitud** y **fase lineal a tramos**

$$|W(w)| = \frac{|\text{sen}(wM/2)|}{|\text{sen}(w/2)|}, \quad -\pi \leq w \leq \pi$$
$$\Theta(w) = \begin{cases} -w \left(\frac{M-1}{2} \right), & \text{cuando } \text{sen}(wM/2) \geq 0 \\ -w \left(\frac{M-1}{2} \right) + \pi, & \text{cuando } \text{sen}(wM/2) < 0 \end{cases}$$

►► Respuesta en magnitud de $W(w)$

- El lóbulo principal se hace más estrecho a medida que M crece.
- El área de cada lóbulo lateral se conserva con variaciones de M .

Magnitud (dB) de $W(w)$ para una ventana rectangular



■ Observaciones

- ▶▶ Las características de la *ventana* ayudan a determinar la respuesta en frecuencia $H(w)$ del filtro FIR al truncar $h_d(n)$ a la longitud M .
 - ▶ La convolución de $H_d(w)$ con $W(w)$ tiene el efecto de *suavizar* $H_d(w)$
 - ▶ A medida que M crece, los lóbulos laterales de $W(w)$ se estrechan más y el suavizado producido por $W(w)$ se reduce.
 - ▶ Los lóbulos laterales grandes de $W(w)$ producen rizado y lóbulos grandes en $H(w)$.
 - ▶ El truncamiento de las series de Fourier introduce rizado en $H(w)$, particularmente en la vecindad de discontinuidades → Fenómeno de Gibbs.
 - ▶ Para garantizar la fase lineal es necesario conservar las características de simetría del filtro resultante → Introducir un desplazamiento durante el diseño.

■ Observaciones...

- ▶▶ La utilización de ventanas sin **discontinuidades abruptas** en sus características del dominio temporal, producen lóbulos laterales bajos en sus respuestas frecuenciales, que contribuyen a aliviar los efectos indeseables.

- ▶▶ Las ventanas “suavizadas” al compararse con la rectangular producen:
 - ▶ Lóbulos laterales más bajos.
 - ▶ Un lóbulo central más amplio para el mismo valor de M .
 - ▶ Mayor suavizado a través de la convolución en el dominio de la frecuencia.
 - ▶ Región de transición de la respuesta del filtro FIR más amplia.
 - » Puede reducirse incrementando la longitud de la ventana

Algunas funciones ventana para el diseño de filtros FIR

Nombre de la ventana	Secuencia en el dominio temporal, $h(n), 0 \leq n \leq M-1$
Barlett (triangular)	$1 - \frac{2 \left n - \frac{M-1}{2} \right }{M-1}$
Blackman	$0.42 - 0.5 \cos \frac{2\pi n}{M-1} + 0.08 \cos \frac{4\pi n}{M-1}$
Hamming	$0.54 - 0.46 \cos \frac{2\pi n}{M-1}$
Hanning	$\frac{1}{2} \left(1 - \cos \frac{2\pi n}{M-1} \right)$
Kaiser	$\frac{I_0 \left[\alpha \sqrt{\left(\frac{M-1}{2} \right)^2 - \left(n - \frac{M-1}{2} \right)^2} \right]}{I_0 \left[\alpha \left(\frac{M-1}{2} \right) \right]}$

Algunas funciones ventana para el diseño de filtros FIR (suite)

Nombre de la ventana

Secuencia en el dominio temporal,

$$h(n), \quad 0 \leq n \leq M-1$$

Lanczos

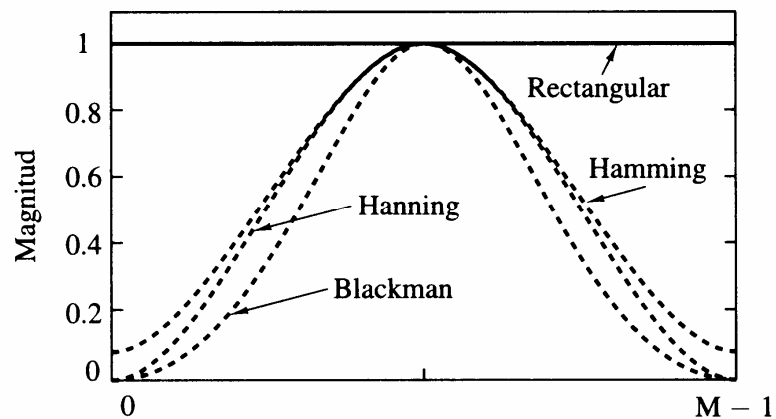
$$\left\{ \frac{\sin \left[2\pi \left(n - \frac{M-1}{2} \right) / (M-1) \right]}{2\pi \left(n - \frac{M-1}{2} \right) / \left(\frac{M-1}{2} \right)} \right\}^L \quad L > 0$$

$$1, \quad \left| n - \frac{M-1}{2} \right| \leq \alpha \frac{M-1}{2} \quad 0 < \alpha < 1$$

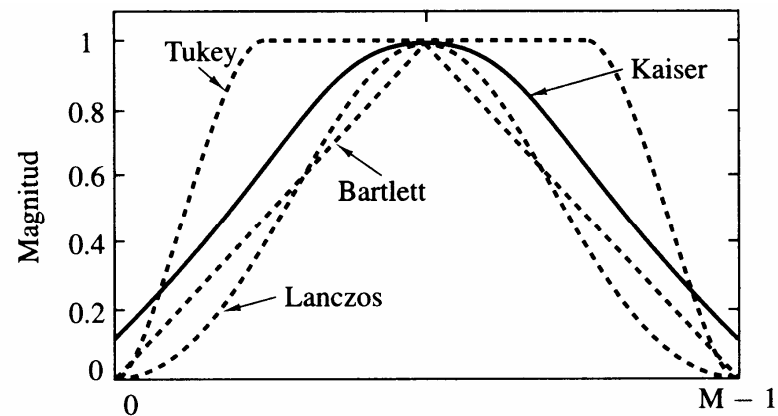
Tukey

$$\frac{1}{2} \left[1 + \cos \left(\frac{n - (1+\alpha)(M-1)/2}{(1-\alpha)(M-1)/2} \pi \right) \right]$$

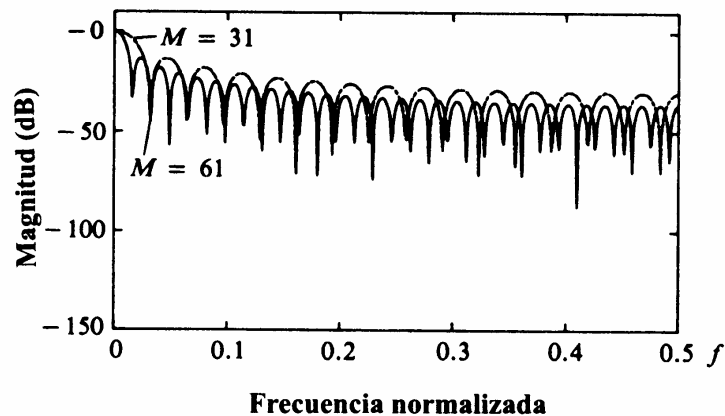
$$\alpha(M-1)/2 \leq \left| n - \frac{M-1}{2} \right| \leq \frac{M-1}{2}$$



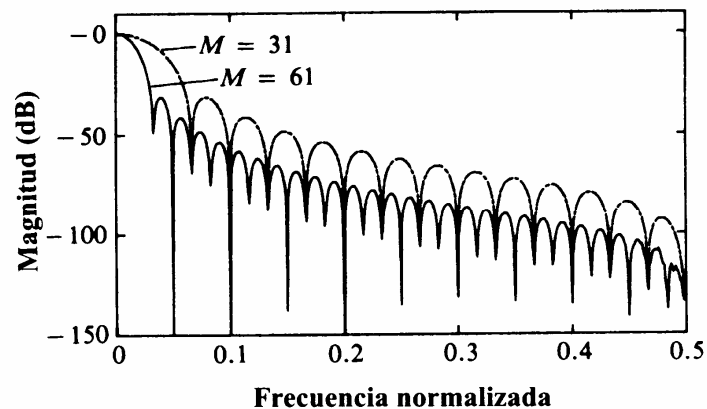
← Ventanas →



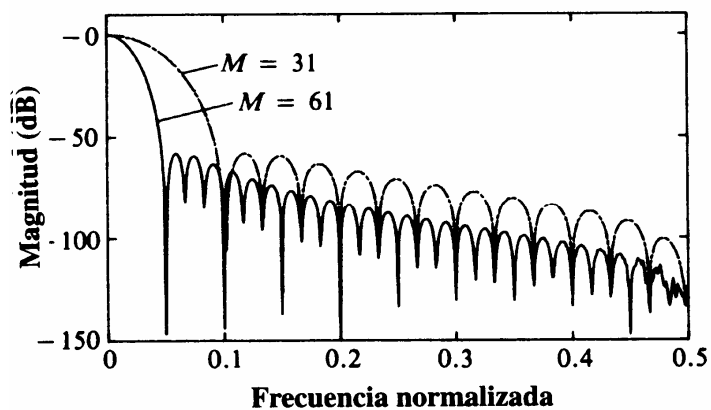
V. Rectangular



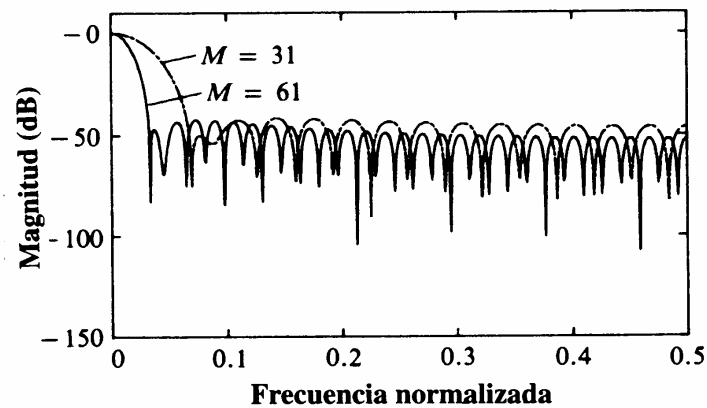
V. Hanning



V. Blackman



V. Hamming



■ **Ejemplo.** Diseñar un filtro FIR paso bajo de fase lineal, con una respuesta en frecuencia deseada,

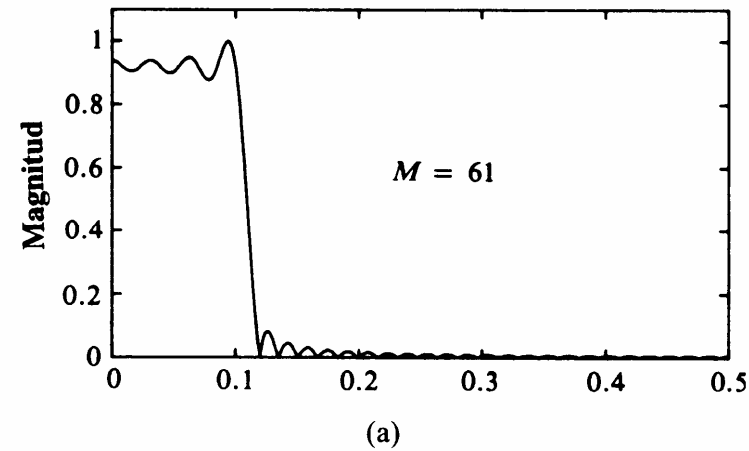
$$H_d(w) = \begin{cases} 1e^{-jw(M-1)/2} & 0 \leq |w| \leq w_c \\ 0 & \text{en otro caso} \end{cases}$$

■ Al aplicar la transformada inversa de Fourier,

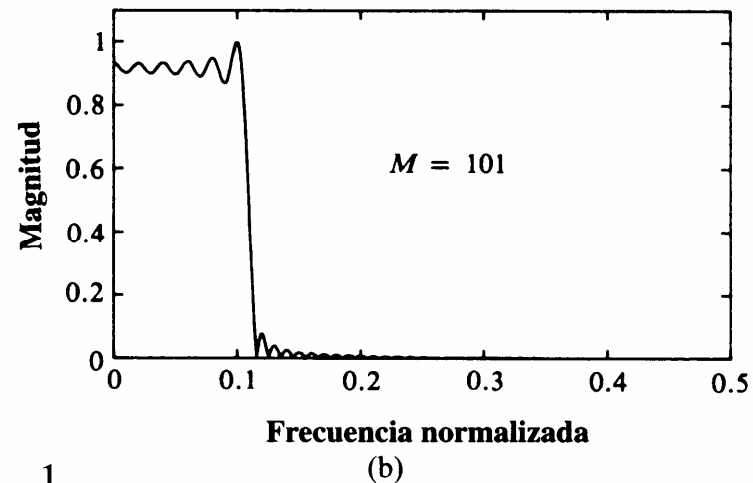
$$\begin{aligned} h_d(n) &= \frac{1}{2\pi} \int_{-w_c}^{w_c} e^{jw\left(n - \frac{M-1}{2}\right)} dw \\ &= \frac{\text{sen}\left[w_c\left(n - \frac{M-1}{2}\right)\right]}{\pi\left(n - \frac{M-1}{2}\right)} \quad n \neq \frac{M-1}{2} \end{aligned}$$

■ Claramente, $h(n)$ es no causal y de duración infinita. Si se multiplica $h_d(n)$ por la ventana rectangular, se obtiene el filtro FIR $h(n)$ de longitud M :

$$h(n) = \frac{\text{sen}\left[w_c\left(n - \frac{M-1}{2}\right)\right]}{\pi\left(n - \frac{M-1}{2}\right)}, \quad 0 \leq n \leq M-1, \quad n \neq \frac{M-1}{2}$$



Filtro PB FIR diseñado con una ventana rectangular



Filtros FIR paso-bajo diseñados con ventanas

